

УДК 541.1

## МОДЕЛЬ ПРОГНОЗИРОВАНИЯ СВОЙСТВ АЛКИЛСИЛАНОВ НА ОСНОВЕ АДДИТИВНОСТИ ЭНЕРГЕТИЧЕСКИХ ВКЛАДОВ

Д.Ю. Нилов, В.М. Смоляков

Тверской государственный университет, e-mail: smolyakov@inbox.ru

Статья поступила 12 октября 2011 г.

С доработки — 6 марта 2012 г.

На основе подобия подграфов в молекулярных графах гомологического ряда алкилсиланов  $\text{SiH}_4\text{—SiC}_8\text{H}_{20}$  получена 22-константная аддитивная схема расчета их физико-химических свойств. На примере алкилсиланов  $\text{SiH}_4\text{—SiC}_8\text{H}_{20}$  показано, что для каждой молекулы алкилсилана сумма чисел простых и сложных гетероцепей равна треугольному числу. Методом наименьших квадратов определены числовые значения параметров схемы для расчета  $\Delta_f H_{\text{газ}, 298 \text{ K}}^0$  алкилсиланов ( $\text{SiC}_n\text{H}_{2n+4}$ ).

**Ключевые слова:** феноменологическая модель, аддитивные схемы, алкилсиланы, энталпия образования, невалентные взаимодействия, многоугольные числа, треугольник Паскаля.

### ВВЕДЕНИЕ

Стремительное увеличение числа химических соединений и быстрое вовлечение их в сферу практического использования привело к тому, что экспериментальное определение физико-химических характеристик не успевает удовлетворять все возрастающую потребность в новых данных. Это обстоятельство заставляет прибегать к феноменологическим методам [1—3], позволяющим сравнительно просто и с достаточной точностью оценить физико-химическое свойство  $P$  (энталпия образования, энтропия, молярный объем, вязкость, поверхностное натяжение и т.д.) веществ, молекулы которых содержат в цепи гетероатом.

Термохимия кремнийорганических соединений (КОС) до сих пор изучена недостаточно, а справочные данные по энталпиям образования скучны и противоречивы [8, 11—15]. Цель работы:

- 1) на примере гомологического ряда структурных изомеров алкилсиланов (АС)  $\text{SiH}_4\text{—SiC}_8\text{H}_{20}$  развить методику построения схем [1, 5—10] с целью выявления роли многоугольных чисел при описании структурных элементов молекул алкилсиланов;
- 2) на основе разбиения треугольных чисел треугольника Паскаля получить формулу, учитывающую парные невалентные взаимодействия не далее чем через четыре атома и кратные (тройные и четверные) невалентные взаимодействия не далее чем через один атом по цепи молекулы алкилсиланов  $\text{SiH}_4\text{—SiC}_8\text{H}_{20}$ ;
- 3) по полученной формуле провести расчеты  $\Delta_f H_{\text{газ}, 298 \text{ K}}^0$  алкилсиланов  $\text{SiC}_8\text{H}_{20}$ , необходимых для практического использования и не изученных экспериментально.

### ТЕОРИЯ

Принципы построения феноменологических (аддитивных) методов просты. Вводятся внутримолекулярные атом-атомные взаимодействия: одноцентровые ( $P_\alpha$ ), двухцентровые ( $P_{\alpha\beta}$ ),

## Парные и кратные взаимодействия атомов в молекуле алкилсилина

трехцентровые ( $P_{\alpha\beta\gamma}$ ) и т.д. Постулируется, что некоторое (экстенсивное) свойство вещества ( $P$ ) может быть представлено как сумма свойств, приходящихся на отдельные атом-атомные взаимодействия: одноцентровые, двухцентровые, тройные и т.д.

[1, 2]

$$P = \sum_{\alpha} P_{\alpha} + \sum_{\alpha, \beta} P_{\alpha\beta} + \sum_{\alpha, \beta, \gamma} P_{\alpha\beta\gamma} + \sum_{\alpha, \beta, \gamma} P_{\alpha... \beta\gamma} + \dots \quad (1)$$

Здесь суммирование проводится по всем атомам ( $P_{\alpha}$ ), парам атомов ( $P_{\alpha\beta}$ ), тройкам атомов ( $P_{\alpha\beta\gamma}$ ), тройкам несвязных атомов около связи ( $P_{\alpha... \beta\gamma}$ ) и т.д. Уравнение (1) распространяется на скалярные (энタルпия образования, энтропия, молярный объем и т.п.), векторные (электрический дипольный момент) и тензорные (поляризуемость) свойства веществ в разных агрегатных состояниях [1, 2]. При использовании уравнения (1) для молекул исследуемого ряда вводится определенная классификация их структурных элементов. Атомы, связи, пары несвязанных атомов, тройки несвязанных атомов и т.п. в молекулах ряда считаются приближенно одинаковыми [1, 2].

**Внутримолекулярные атом-атомные взаимодействия в молекуле алкилсиланов.** Введем, согласно (1), внутримолекулярные атом-атомные взаимодействия в молекуле алкилсилина (см. рисунок): а) валентные:  $\xi_{CSi}$ ,  $\xi_{CH}$ ,  $\xi_{SiH}$ ,  $\xi_{CC}$ ; б) парные невалентные через один атом:  $\eta_{HH}^C$ ,  $\eta_{HSi}^C$ ,  $\eta_{HH}^{Si}$ ,  $\eta_{CH}^{Si}$ ,  $\eta_{CC}^{Si}$ ; в) парные невалентные через два атома:  $\zeta_{HH}^{CSi}$ ,  $\zeta_{HC}^{CSi}$ ,  $\zeta_{CH}^{CSi}$ ,  $\zeta_{CC}^{CSi}$  ...; г) парные невалентные через три атома:  $\nu_{H...H}^{CSiC}$ ,  $\nu_{H...C}^{CSiC}$ ,  $\nu_{C...C}^{CSiC}$ , ... и через четыре атома:  $\nu_{H...H}^{CSiCC}$ ,  $\nu_{H...C}^{CSiCC}$ ,  $\nu_{C...C}^{CSiCC}$ , ... по цепи молекулы; д) кратные невалентные взаимодействия троек и четверок атомов не далее чем через один атом по цепи молекулы:  $\eta_{HHH}^C, \dots, \eta_{CCC}^C, \eta_{SiHH}^C, \dots, \eta_{SiCC}^C, \eta_{CHH}^C, \dots, \eta_{CCC}^C, \eta_{SiHHH}^C, \dots, \eta_{SiCCC}^C$ .

Введем вспомогательные соотношения:  $n$  — число атомов C;  $k_i$  — числа атомов C<sub>i</sub>, первичных ( $i = 1$ ), вторичных ( $i = 2$ ), третичных ( $i = 3$ ) или четвертичных ( $i = 4$ );  $n_{ij}$  — число фрагментов C<sub>i</sub>—C<sub>j</sub> ( $i, j = 2, 3, 4$ ;  $i < j$ );  $n_{ijm}$  — число фрагментов C<sub>i</sub>—C<sub>j</sub>—C<sub>m</sub> ( $j = 2$ ;  $i, m = 2, 3, 4$ ;  $i < m$ );  $n_{ijml}$  — число фрагментов C<sub>i</sub>—C<sub>j</sub>—C<sub>m</sub>—C<sub>l</sub> ( $j, m = 2$ ;  $i, l = 2, 3, 4$ ;  $i < l$ ). Числа атомов и валентных взаимодействий атомов выражаются через  $n$ :  $x_C = n$ ,  $x_{C-C} = n - 1$ ; числа парных невалентных взаимодействий через один атом —  $x_{C...C}^{-C} = \sum_{i=2}^4 [i(i-1)/2] \cdot k_i$ ; числа  $n_{ij}$ ,  $n_{ijm}$ ,  $n_{ijml}$

невалентных взаимодействий пар атомов через два, три, четыре атома  $x_{C...C}^{-C-C} = \sum_{i,j=2; i < j}^4 (i-1)(j-1) \cdot n_{ij}$ ;  $x_{C...C}^{-C-C-C} = \sum_{j=2}^4 \sum_{i,m=2; i < m}^4 (i-1)(m-1) \cdot n_{ijm}$ ;  $x_{C...C}^{-C-C-C-C} = \sum_{j,m=2}^4 \sum_{i,l=2; i < l}^4 (i-1)(l-1) \cdot n_{ijml}$ ; число троек или четверок атомов C или Si у рассматриваемого

атома —C<sub>3</sub><, >C<sub>4</sub><, —C<sub>3</sub>\*< (SiC<sub>3</sub>\*—CC), >C<sub>4</sub>\*< (C<sub>4</sub>\*SiCCC), —Si<sub>3</sub>< или >Si<sub>4</sub>< в молекуле алкилсилина также можно выразить через числа  $k_i$ , где  $i$  степень вершины ( $i = 0, 1, 2, 3, 4$ ), т.е. число атомов C, инцидентных данной вершине:

$$x_{CCC1}^{-C<} = \sum_{i=1}^4 [i(i-1)(i-2)/6] \cdot k_i, \quad x_{CCCC1}^{>C<} = \sum_{i=1}^4 [i(i-1)(i-2)(i-3)/24] \cdot k_i, \dots,$$

$$\ddot{x}_{SiCC1}^{-C*<} = \sum_{i=1}^3 (i)(i-1)(i-2)/6 \cdot K_{i=3}, \dots, \quad \ddot{x}_{SiCCC1}^{-C*<} \left( \text{в } \ddot{x}_{SiCCC1}^{>C*<} \right) = \sum_{i=1}^4 (i)(i-1)(i-2)(i-3)/8 \cdot K_{i=4}, \dots,$$

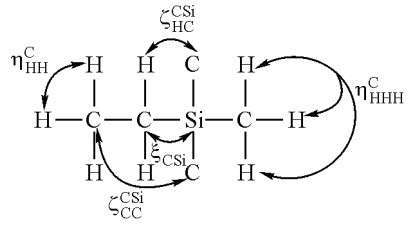


Таблица 1

Числовые значения параметров уравнения (5) для расчета энталпий образования  
 $\Delta_f H_{\text{газ}, 298 \text{ К}}^0 (\text{SiC}_n\text{H}_{2n+4})$  алкилсиланов

Числа подграфа	Граф	Обозначение фрагмента	Значение инкремента $\Delta_f H_{\text{газ}, 298 \text{ К}}^0$ по (5)	Числа подграфа	Граф	Обозначение фрагмента	Значение инкремента $\Delta_f H_{\text{газ}, 298 \text{ К}}^0$ по (5)
$n_1$	●	$p_{\text{Si}}$	34,727	$n_{13}$		$p_{\text{CCCC}}^{\text{CC}}$	*
$n_2$	○	$p_{\text{C}}$	-55,369	$n_{14}$		$p_{\text{Si...C}}^{\text{CC}}$	23,806
$n_3$	●—○	$p_{\text{Si—C}}$	-0,945	$n_{15}$		$p_{\text{C...C}}^{\text{SiC}}$	0,047
$n_4$	○—○	$p_{\text{C—C}}$	*	$n_{16}$		$p_{\text{C...C}}^{\text{CC}}$	**
$n_5$	●—○—○	$p_{\text{Si...C}}^{\text{C}}$	41,274	$n_{17}$		$p_{\text{Si...C}}^{\text{CCC}}$	**
$n_6$	○—●—○	$p_{\text{C...C}}^{\text{Si}}$	-12,425	$n_{18}$		$p_{\text{C...C}}^{\text{SiCC}}$	4,012
$n_7$	○—○—○	$p_{\text{C...C}}^{\text{C}}$	-3,694	$n_{19}$		$p_{\text{C...C}}^{\text{CSiC}}$	-2,061
$n_8$	○—●—○—○	$p_{\text{CCC}}^{\text{Si}}$	15,250	$n_{20}$		$p_{\text{C...C}}^{\text{CCC}}$	37,341
$n_9$	●—○—○—○	$p_{\text{SiCC}}^{\text{C*}}$	-11,019	$n_{21}$		$p_{\text{Si...C}}^{\text{CCCC}}$	**
$n_{10}$	○—○—○—○	$p_{\text{CCC}}^{\text{C}}$	**	$n_{22}$		$p_{\text{C...C}}^{\text{SiCCC}}$	18,818
$n_{11}$	○—○—●—○—○	$p_{\text{CCC}}^{\text{Si}}$	-29,158	$n_{23}$		$p_{\text{C...C}}^{\text{CSiCC}}$	1,030
$n_{12}$	●—○—○—○—○	$p_{\text{SiCCC}}^{\text{C}}$	29,643	$n_{24}$		$p_{\text{C...C}}^{\text{CCCC}}$	**

\* Обозначены линейно зависимые параметры исходной схемы  $p_{\text{C—C}} = p_4$  и  $p_{\text{CCCC}}^{\text{C}} = p_{13}$  (5).

\*\* Параметры схемы (5), не определенные из-за отсутствия экспериментальных данных.

$$x_{\text{CCCC}}^{-\text{Si}^<} = \sum_{i=1}^4 [\hat{i}(\hat{i}-1)(\hat{i}-2)/6] \cdot \hat{k}_i, \dots \text{ и т.п. (см. пример и табл. 1).}$$

**Аддитивная модель расчета свойств гомологического ряда алкилсиланов как результат разложение треугольных чисел.** В графовой интерпретации молекул ряда атомы водорода H "стерты", а учитываются только типы невалентных взаимодействий "скелетных" атомов [5—10]. Структурные формулы молекулы гомологического ряда представляются в виде молекулярных графов (МГ), в которых вершины соответствуют атомам, ребра — связям, невалентным взаимодействиям скелетных атомов через один атом по цепи молекулы — число ребер, инцидентных данной вершине С или Si: C—C—C, Si—C—C, C—Si—C, ..., невалентным взаимодействиям скелетных атомов через два атома по цепи молекулы — число вершин, инцидентных данному ребру вида —C—C— или —C—Si—: C—C—C—C, Si—C—C—C, C—Si—C—C, ... и т.д. Числа вложений вышеперечисленных подграфов в гетероатомном молекулярном графе алкилсилана определяются как число способов наложения подграфа определенной длины  $i_1, i_2, \dots$  на МГ [5, 7, 10].

Свойство  $P$  каждой молекулы гомологического ряда алкилсиланов может быть представлено в виде линейной функции чисел структурных элементов в МГ (вершин, путей длины один,

два, три и т.д.), сумма которых равна треугольному числу  $K_3 = n(n+1)/2$ , где  $n = 1, 2, 3 \dots$  [ 6, 7 ]. В парном приближении для всех гетероатомных молекулярных графов\* алкилсиланов выписываются все (однородные и неоднородные) цепи длины два, длины три, ... и т.д. Подграфами являются также и сами молекулярные графы, поскольку, например, графы молекул  $\text{SiH}_3-\text{CH}_2-\text{CH}_3$ ,  $\text{CH}_3-\text{CH}_2-\text{SiH}_2-\text{CH}_3$  и  $\text{CH}_3-\text{CH}(\text{CH}_3)-\text{SiH}_2-\text{CH}_3$  являются подграфами  $\text{CH}_3-\text{CH}(\text{CH}_3)-\text{SiH}_2-\text{CH}_3$  и т.п.

Если свойство  $P$  алкилсилана — сумма вкладов, вносимых элементами структуры, представленными в виде подграфов (вершин и путей) различной длины в данном МГ, то для свойства ( $P$ ) алкилсилана получим схему, эквивалентную простой схеме

$$\Delta_f H^0(\text{SiC}_n\text{H}_{2n+4}) = nx'_0 + K'_3x_l. \quad (2)$$

Здесь  $x_0$  и  $x_l$  — эмпирические параметры;  $n = n_{\text{Si}} + n_{\text{C}} = 1, 2, 3 \dots$  — суммарное число атомов Si и C в молекуле алкилсилана, а  $K_3 = n(n-1)/2$  — треугольное число — суммарное число парных невалентных взаимодействий скелетных атомов в молекуле.

С учетом влияния на свойство  $P$  алкилсилана атомов, связей, парных невалентных взаимодействий не далее чем через четыре скелетных атома по цепи алкилсилана (при разложении в (2) натурального числа  $n$  и  $K_3$ ), а также кратных (тройных и четверных) невалентных взаимодействий не далее чем через один атом по цепи молекулы алкилсилана для расчета свойства  $\Delta_f H^0(\text{SiC}_n\text{H}_{2n+4})$  получим формулу:

$$\begin{aligned} \Delta_f H^0(\text{SiC}_n\text{H}_{2n+4}) = & n_{\text{Si}}x_{\text{Si}} + n_{\text{C}}x_{\text{C}} + n_{\text{Si}-\text{C}}x_{\text{Si}-\text{C}} + n_{\text{C}-\text{C}}x_{\text{C}-\text{C}} + n_{\text{Si...C}}^{\text{C}}x_{\text{Si...C}}^{\text{C}} + \\ & + n_{\text{C...C}}^{\text{Si}}x_{\text{C...C}}^{\text{Si}} + n_{\text{C...C}}^{\text{C}}x_{\text{C...C}}^{\text{C}} + n_{\text{CCC}}^{\text{Si}}x_{\text{CCC}}^{\text{Si}} + n_{\text{SiCC}}^{\text{C}}x_{\text{SiCC}}^{\text{C}} + n_{\text{CCC}}^{\text{C}}x_{\text{CCC}}^{\text{C}} + n_{\text{CCCC}}^{\text{Si}}x_{\text{CCCC}}^{\text{Si}} + \\ & + n_{\text{SiCCC}}^{\text{C}}x_{\text{SiCCC}}^{\text{C}} + n_{\text{CCCC}}^{\text{C}}x_{\text{CCCC}}^{\text{C}} + n_{\text{Si...C}}^{\text{CC}}x_{\text{Si...C}}^{\text{CC}} + n_{\text{C...C}}^{\text{SiC}}x_{\text{C...C}}^{\text{SiC}} + n_{\text{C...C}}^{\text{CC}}x_{\text{C...C}}^{\text{CC}} + n_{\text{Si...C}}^{\text{CCC}}x_{\text{Si...C}}^{\text{CCC}} + \\ & + n_{\text{C...C}}^{\text{SiCC}}x_{\text{C...C}}^{\text{SiCC}} + n_{\text{C...C}}^{\text{CSiC}}x_{\text{C...C}}^{\text{CSiC}} + n_{\text{C...C}}^{\text{CCC}}x_{\text{C...C}}^{\text{CCC}} + n_{\text{Si...C}}^{\text{CCCC}}x_{\text{Si...C}}^{\text{CCCC}} + n_{\text{C...C}}^{\text{SiCCC}}x_{\text{C...C}}^{\text{SiCCC}} + \\ & + n_{\text{C...C}}^{\text{CSiCC}}x_{\text{C...C}}^{\text{CSiCC}} + n_{\text{C...C}}^{\text{CCCC}}x_{\text{C...C}}^{\text{CCCC}}. \end{aligned} \quad (3)$$

Здесь коэффициенты схемы  $n_{\text{Si}} = n_1 = 1$ ;  $n_{\text{C}} = n_2$  — натуральные числа;  $n_{\text{C}-\text{C}} = n_4$ ,  $n_{\text{Si...C}}^{\text{C}} = n_5$ , ...,  $n_{\text{Si...C}}^{\text{CC}} = n_{14}$ , ...,  $n_{\text{C...C}}^{\text{CCCC}} = n_{24}$  — коэффициенты схемы, сумма которых равна треугольному числу  $K_3$ ;  $n_{\text{CCC}}^{\text{Si}} = n_8$ ,  $n_{\text{SiCC}}^{\text{C}} = n_9$ ,  $n_{\text{CCC}}^{\text{C}} = n_{10}$ ,  $n_{\text{CCCC}}^{\text{Si}} = n_{11}$ ,  $n_{\text{SiCCC}}^{\text{C}} = n_{12}$ ,  $n_{\text{CCCC}}^{\text{C}} = n_{13}$  — числа кратных\*\* невалентных взаимодействий не далее чем через один атом по цепи молекулы; а  $x_{\text{Si}}$ ,  $x_{\text{C}}$ ,  $x_{\text{Si}-\text{C}}$ , ...,  $x_{\text{Si...C}}^{\text{C}}$ , ...,  $x_{\text{C...C}}^{\text{SiCC}}$ ,  $x_{\text{C...C}}^{\text{CCCC}}$ , ...,  $x_{\text{SiCCC}}^{\text{C}}$ ,  $x_{\text{CCCC}}^{\text{C}}$  — эмпирические параметры схемы, определяемые МНК из опыта [ 8, 11—15 ]. Формула (3) содержит 24 исходных постоянных, из которых  $x_{\text{C}-\text{C}} = x_4$  и  $x_{\text{CCCC}}^{\text{C}} = x_{13}$  — линейно зависимы. С учетом линейных зависимостей выражение (3) для расчетов  $\Delta_f H^0(\text{SiC}_n\text{H}_{2n+4})$  имеет вид

$$\begin{aligned} \Delta_f H^0(\text{SiC}_n\text{H}_{2n+4}) = & n_1p_1 + n_2p_2 + n_3p_3 + n_5p_5 + n_6p_6 + n_7p_7 + \\ & + n_8p_8 + n_9p_9 + n_{10}p_{10} + n_{11}p_{11} + n_{12}p_{12} + n_{14}p_{14} + n_{15}p_{15} + n_{16}p_{16} + \\ & + n_{17}p_{17} + n_{18}p_{18} + n_{19}p_{19} + n_{20}p_{20} + n_{21}p_{21} + n_{22}p_{22} + n_{23}p_{23} + n_{24}p_{24}, \end{aligned} \quad (4)$$

где  $p_1, p_2, p_3, \dots, p_{24}$  — эмпирические параметры, определяемые МНК из опыта; а  $n_1, n_2, n_3, \dots, n_{24}$  — их числа. Схема (4) содержит 22 параметра и является "рабочей", пригодной для практического использования.

\* Молекулярный граф — связный неориентированный граф, находящийся во взаимно-однозначном соответствии со структурной формулой химического соединения таким образом, что вершинам графа соответствуют атомы молекулы, а ребрам графа — химические связи между этими атомами.

\*\* Полный учет кратных невалентных взаимодействий (тройных, четверных и т.д.) через один атом, через два атома и т.д. по цепи есть результат разложения тетраэдрических чисел  $K_{\text{T3}} = n(n-1)(n-2)/6 = 1, 4, 10, 20, \dots$  [ 10, 16 ].

Таблица 2

Опытные [8, 11—15] и рассчитанные по (5) значения стандартных энталпий  
 $\Delta_f H_{\text{газ}, 298 \text{ К}}^0$  ( $\text{SiC}_n\text{H}_{2n+4}$ ) алкилсиланов, кДж/моль

Молекула	Опыт $\Delta_f H_{\text{газ}, 298 \text{ К}}^0$	Расчет	
		по (5)	$\Delta$ по (5)
$\text{SiH}_4$	$34,7 \pm 1,3$	34,7	0
$\text{SiH}_3\text{CH}_3$	$-31,4 \pm 8,4$	$-21,6$	$-9,8$
$\text{SiH}_2(\text{CH}_3)_2$	$-93,7 \pm 8,4$	$-90,3$	$-3,4$
$\text{SiH}_3\text{CH}_2\text{CH}_3$	$-31,8 \pm 8,4$	$-35,7$	$3,9$
$\text{SiH}(\text{CH}_3)_3$	$-156,1 \pm 8,4$	$-156,2$	$0,2$
$\text{CH}_3\text{SiH}_2\text{CH}_2\text{CH}_3$	$-97,1 \pm 12,6$	$-104,4$	$7,3$
$\text{SiH}_3\text{CH}(\text{CH}_3)_2$	$-58,6$	$-64,5$	$5,9$
$\text{Si}(\text{CH}_3)_4$	$-230,1 \pm 4,2$	$-233,2$	$3,1$
$\text{CH}_3\text{CH}_2\text{SiH}(\text{CH}_3)_2$	$-159 \pm 12,6$	$-170,2$	$11,2$
$\text{SiH}_2(\text{CH}_2\text{CH}_3)_2$	$-130$	$-120,5$	$-9,5$
$\text{CH}_3\text{SiH}_2\text{CH}_2\text{CH}_2\text{CH}_3$	$-130 \pm 13$	$-135,6$	$5,6$
$\text{SiH}_3\text{CH}_2\text{CH}_2\text{CH}_2\text{CH}_3$	$-130$	$-130,0$	0
$\text{CH}_3\text{CH}_2\text{Si}(\text{CH}_3)_3$	$-259,2$	$-247,2$	$-12,0$
$\text{CH}_3\text{SiH}(\text{CH}_2\text{CH}_3)_2$	$-175$	$-186,3$	$11,3$
$\text{CH}_3\text{CH}_2\text{Si}(\text{CH}_3)_2\text{CH}_2\text{---CH}_3$	$-263 \pm 4$	$-263,2$	$0,2$
$\text{SiH}(\text{CH}_2\text{---CH}_3)_3$	$-217$	$-204,4$	$-12,6$
$\text{CH}_3\text{CH}_2\text{Si}(\text{CH}_3)(\text{CH}_2\text{CH}_3)\text{CH}_2\text{CH}_3$	$-281 \pm 4,7$	$-281,3$	$0,3$
$\text{CH}_3\text{CH}(\text{CH}_3)\text{SiH}(\text{CH}_3)\text{CH}(\text{CH}_3)_2$	$-255$	$-249,9$	$-5,1$
$\text{CH}_3(\text{CH}_2)_2\text{SiH}(\text{CH}_3)\text{CH}_2\text{CH}_2\text{CH}_3$	$-240$	$-238,7$	$-1,3$
$\text{Si}(\text{CH}_2\text{---CH}_3)_4$	$-296 \pm 4,4$	$-301,4$	$5,4$
$(\text{CH}_3\text{---CH}_2\text{---CH}_2)_2\text{---Si}(\text{CH}_3)_2$	$-306 \pm 4,7$	$-307,6$	$1,6$
$[\text{CH}_3\text{---CH}(\text{CH}_3)]_2\text{---Si}(\text{C}_2\text{H}_5)$	$-270$	$-272,2$	$2,2$
$(\text{CH}_3\text{---CH}_2\text{---CH}_2)_2\text{---Si}(\text{CH}_2\text{---CH}_3)$	$-259$	$-254,8$	$-4,2$
$(\text{CH}_3\text{---CH}_2)_3\text{---Si---CH}_2\text{CH}_2\text{CH}_3$	$-319,1 \pm 6$	$-321,5$	$2,4$
$(\text{n-C}_4\text{H}_9)_2\text{---SiH---CH}_3$	$-283 \pm 6$	$-281,6$	$-1,4$
$(\text{CH}_3)\text{---SiH---}(\text{n-C}_5\text{H}_{11})$	$-325$	$-325,0$	0
$(\text{n-C}_4\text{H}_9)_3\text{---SiH}$	$-341$	$-344,2$	$3,2$
$(\text{CH}_3\text{---CH}_2)_2\text{---Si---}(\text{n-C}_3\text{H}_7)_2$	$-341,8 \pm 5,2$	$-341,7$	$-0,1$
$\text{Si---}(\text{n-C}_3\text{H}_7)_4$	$-379,1 \pm 4,3$	$-381,9$	$2,8$
$(\text{n-C}_3\text{H}_7)_3\text{SiH}$	$-280 \pm 6$	$-279,9$	$-0,1$
$\text{CH}_3\text{---SiH---}[\text{CH}_2\text{---CH}(\text{CH}_3)\text{---CH}_3]_2$	$-296 \pm 4,3$	$-298,5$	$2,5$
$(\text{CH}_3)\text{---Si---}(\text{n-C}_3\text{H}_7)_3$	$-345 \pm 5$	$-344,8$	$-0,2$
$\text{CH}_3\text{---CH}_2\text{---SiH---}[\text{CH}_2\text{---CH}(\text{CH}_3)\text{---CH}_3]_2$	$-315$	$-312,5$	$-2,5$
$(\text{n-C}_4\text{H}_9)_2\text{---SiH---CH}_2\text{---CH}_3$	$-301 \pm 6$	$-297,6$	$-3,4$
$(\text{CH}_2\text{---CH}_3)\text{---Si---}(\text{n-C}_3\text{H}_7)_3$	$-360 \pm 6$	$-361,8$	$1,8$
$[\text{CH}_3\text{---CH}(\text{CH}_3)\text{---CH}_2]_2\text{---SiH---C}(\text{CH}_3)_3$	$-355 \pm 7$	$-355,0$	0
$(\text{CH}_3)\text{---Si---}(\text{CH}_2\text{---CH}_2\text{---CH}_3)_3$	$-350 \pm 5$	$-344,8$	$-5,2$

## РАСЧЕТНАЯ ЧАСТЬ

С использованием числовых значений параметров схемы (4) (см. табл. 1), с учетом парных, а также кратных  $n_{\text{CCC}}^{\text{Si}}$ ,  $n_{\text{SiCC}}^{\text{C}^*}$ ,  $n_{\text{CCCC}}^{\text{C}}$ ,  $n_{\text{SiCCC}}^{\text{Si}}$ ,  $n_{\text{CCCC}}^{\text{C}}$  (тройных и четверных невалентных взаимодействий не далее чем через один атом по цепи молекулы алкилсилианов) приведем пример расчета энталпий образования  $\Delta_f H_{\text{газ}, 298 \text{ К}}^0$  алкилсилианов (в кДж/моль) для trimethylethylsilane (см. рисунок)  $\text{CH}_3\text{CH}_2\text{Si}(\text{CH}_3)_3$ :

$$\begin{aligned}
 P = & 34,727 \cdot n_1 - 55,369 \cdot n_2 - 0,945 \cdot n_3 + 41,274 \cdot n_5 - 12,425 \cdot n_6 - 3,694 \cdot n_7 + \\
 & + 15,250 \cdot n_8 - 11,019 \cdot n_9 + 0 \cdot n_{10} - 29,158 \cdot n_{11} + 29,643 \cdot n_{12} + 23,806 \cdot n_{14} + \\
 & + 0,047 \cdot n_{15} + 0 \cdot n_{16} + 0 \cdot n_{17} + 4,012 \cdot n_{18} - 2,061 \cdot n_{19} + 37,341 \cdot n_{20} + 0 \cdot n_{21} + \\
 & + 18,818 \cdot n_{22} + 1,030 \cdot n_{23} + 0 \cdot n_{24} = 34,727 \cdot 1 - 55,369 \cdot 5 - 0,945 \cdot 4 + 41,274 \cdot 1 - \\
 & - 12,425 \cdot 6 - 3,694 \cdot 0 + 15,250 \cdot 4 - 11,019 \cdot 0 + 0 \cdot 0 - 29,158 \cdot 1 + 29,643 \cdot 0 + \\
 & + 23,806 \cdot 0 + 0,047 \cdot 3 + 0 \cdot 0 + 0 \cdot 0 + 4,012 \cdot 0 - 2,061 \cdot 0 + 37,341 \cdot 0 + 0 \cdot 0 + \\
 & + 18,818 \cdot 0 + 1,030 \cdot 0 + 0 \cdot 0 = -247,191 \text{ кДж/моль}.
 \end{aligned} \tag{5}$$

В парном приближении (при учете только гетероцепей различной длины в графе молекулы  $\text{CH}_3\text{CH}_2\text{Si}(\text{CH}_3)_3$ , см. рисунок) уравнение (5) запишется в виде:

$$\begin{aligned}
 \Delta_f H^0(\text{CH}_3\text{CH}_2\text{Si}(\text{CH}_3)_3) = & 1\bar{x}_{\text{Si}} + 5\bar{x}_{\text{C}} + 4\bar{x}_{\text{Si}-\text{C}} + 1\bar{x}_{\text{C}-\text{C}} + 1\bar{x}_{\text{Si...C}} + \\
 & + 6\bar{x}_{\text{C...C}}^{\text{Si}} + 0\bar{x}_{\text{C...C}}^{\text{C}} + 0\bar{x}_{\text{Si...C}}^{\text{CC}} + 3\bar{x}_{\text{C...C}}^{\text{SiC}} + 0\bar{x}_{\text{C...C}}^{\text{CC}} + 0\bar{x}_{\text{Si...C}}^{\text{CCC}} + 0\bar{x}_{\text{C...C}}^{\text{SiCC}} + \\
 & + 0\bar{x}_{\text{C...C}}^{\text{CSiC}} + 0\bar{x}_{\text{C...C}}^{\text{CCC}} + 0\bar{x}_{\text{Si...C}}^{\text{CCCC}} + 0\bar{x}_{\text{C...C}}^{\text{SiCCC}} + 0\bar{x}_{\text{C...C}}^{\text{CSiCC}} + 0\bar{x}_{\text{C...C}}^{\text{CCCC}}.
 \end{aligned} \tag{6}$$

Видно, что сумма коэффициентов в (6) равна треугольному числу ( $K_3 = n(n+1)/2 = 21$ ).

В табл. 1 приведены полученные МНК числовые значения параметров схем (5), в табл. 2 приведены экспериментальные [8, 11—15] и рассчитанные по (5) значения  $\Delta_f H^0(\text{SiC}_n\text{H}_{2n+4})$  алкилсилианов (в кДж/моль) и отклонения  $\Delta = \Delta_f H_{\text{опыт}}^0 - \Delta_f H_{\text{расч}}^0$ .

Статистические характеристики результатов расчета  $\Delta_f H^0(\text{SiC}_n\text{H}_{2n+4})$  алкилсилианов по уравнению (5) (в кДж/моль) следующие:  $N$  — число опытных данных по (5) — 37;  $r$  — коэффициент корреляции по (5) — 0,99874;  $|\varepsilon|$  — среднее абсолютное отклонение по (5) — 3,83;  $\varepsilon_{\text{max}}$  — максимальное отклонение по (5) — 12,56 для  $\text{SiH}(\text{CH}_2-\text{CH}_3)_3$ .

## ЗАКЛЮЧЕНИЕ

На примере гомологического ряда алкилсилианов показана плодотворность использования строк и столбцов треугольника Паскаля для описания структурных особенностей (элементов) каждой молекулы ряда КОС при построении аддитивной модели расчета их физико-химических свойств.

Показано, что для каждой молекулы алкилсилиана сумма чисел простых ( $\text{C}-\text{C}$ ,  $\text{C}-\text{C}-\text{C}$ , ... и т.д.) и сложных ( $\text{Si}-\text{C}$ ,  $\text{Si}-\text{C}-\text{C}$ , ...,  $\text{C}-\text{Si}-\text{C}$ , ...,  $\text{C}-\text{C}-\text{Si}-\text{C}-\text{C}-\text{C}$ , ... и т.д.) гетероцепей различной длины равна треугольному числу. Как видно из табл. 2 и статистических характеристик расчета  $\Delta_f H_{\text{газ}, 298 \text{ К}}^0$  алкилсилианов по (5), последние находятся в хорошем согласии с опытом, что вполне приемлемо, если учесть погрешности имеющихся данных.

Работа выполнена в рамках реализации ФЦП "Научные и научно-педагогические кадры инновационной России" на 2009—2013 годы. Гос. контракт П304 от 06.05.2010 г.

**СПИСОК ЛИТЕРАТУРЫ**

1. Степанов Н.Ф., Ерлыкина Н.Е., Филиппов Г.Г. Методы линейной алгебры в физической химии. – М.: МГУ, 1976.
2. Доди Ж.-П., Рожса О. Локализация и делокализация в квантовой химии / Под ред. Г.М. Жидомирова. – М.: Мир, 1978. – С. 179 – 240.
3. Станкевич М.И., Станкевич И.В. Зефиров Н.С. // Успехи химии. – 1988. – **57**. – С. 337 – 366.
4. Жохова Н.И., Баскин И.И., Палюлин В.А., Зефиров А.Н., Зефиров Н.С. // Журн. прикл. химии. – 2003. – **76**, № 12. – С. 1966 – 1970.
5. Нилов Д.Ю., Соколов Д.В., Смоляков В.М., Поляков М.Н. // Журн. физ. химии. – 2003. – **77**, № 5. – С. 775 – 779.
6. Нилов Д.Ю., Соколов Д.В., Смоляков В.М., Федин Д.М. // Вест. Твер. гос. ун-та. – Тверь: ТвГУ, 2006, вып. 8. – С. 51 – 56.
7. Нилов Д.Ю., Соколов Д.В., Смоляков В.М., Николенко А.Ю. // Вест. Твер. гос. ун-та. – Тверь: ТвГУ, 2007, вып. 9. – С. 87 – 94.
8. Смоляков В.М., Канович М.М., Салтыкова М.Н. и др. Свойства веществ и строения молекул. – Калинин, 1982. – С. 13 – 16.
9. Smolyakov V.M., Sokolov D.V., Nilot D.Yu., Grebeshkov V.V., Fedin D.M. // Carbon Nanomaterials in Clean Energy Hydrogen Systems – II, NATO Science for Peace and Security Series C: Environmental Security 2, #Springer Science+Business Media B.V. – 2011. – Р. 347 – 372.
10. Смоляков В.М. Расчетные методы в физхимии. – Калинин, 1988. – С. 39 – 68.
11. Cox J.D., Pilcher G. ThermoChemistry of organic and organometallic compounds – L.; N.Y.: Acad. Press, 1970, Ch. 7. – Р. 550.
12. Термохимические константы веществ: Справочник / Под ред. В.П. Глушко, В.А. Медведева и др. – М.: Изд-во АН СССР, ВИНИТИ, 1970, вып. 4, ч. I; 1971, вып. 4, ч. II; 1971, вып. 5.
13. Термические свойства кремнийорганических соединений / Под. ред. В.Н. Кострюкова и В.Г. Генчель. – М.: НИИТЭХИМ, 1973.
14. Тельной В.И., Рабинович И.Б. // Успехи химии. – 1980. – **49**, № 7. – С. 1137 – 1173.
15. Воронков М.Г., Барышок В.П., Дьяков В.М., Ключников В.А. и др. Свойства веществ и строения молекул. – Калинин, 1988. – С. 106 – 114.
16. Нилов Д.Ю., Смоляков В.М. // Журн. физ. химии. – 2012. – **86**, № 5. – С. 1 – 7.